

## 補剛トラスの対傾構変形を考慮した吊橋の3次元解析

大阪大学工学部 正員 小松定夫  
大阪大学工学部 正員 西村宣男  
大阪大学工学部 学生員 平山健一

## 1. まえがき

箱型トラスが任意の外力を受けて変形すると、トラス外郭の腹材には薄肉箱型ばねの組合せ相当のラーナン効果がはたらき、断面形を保持する役目をする。ほんじ対傾構のせん断剛性に負、いい方。対傾構の剛性が十分でなければ、断面形はずれが生ずる。現在計画され、本州四国連絡橋は鉄道と道路の併用橋である。箱型補剛トラスの内部に複数又は複々数軌道を設けるため、厳しい建築限界のもとに中央部に空間をもつ骨組構造とならざるを得ない。このような吊橋の立体解析を行なうにあたり、一般に用いられるBleich理論を用いることは不適当と考え、補剛トラスの変形に関する、トラス部材を連続体と換算し、Vlasovの折板理論を拡張して吊橋の3次元変形に関する理論式を説明した。本論文では偏載荷重による変形と応力に対する対傾構剛性の影響について論じ、併せて慣用。吊橋設計ではほんじ注意を向かれていい。偏載荷重による走行面の傾きと補剛トラス応力の安全性につけて検討を加えた。

## 2. 偏載荷重による変形に関する基礎方程式

断面のずれを考慮した場合、偏載荷重による補剛トラスの変形は図1に示すよう基準座標をとり、鉛直たわみ  $v$ 、せり  $w$ 、ねじれ角  $\theta$ 、およびずれ角  $\varphi$  は図2のようになる。

偏載荷重に関する基礎式は次のようになるとされる。

$$EIv'' - (2H_d + H_{p1} + H_{p2})v' - (H_{p2} - H_{p1})\frac{b}{2}\varphi' \\ - (H_{p2} - H_{p1})\frac{b}{2}\theta' = p_v v + (H_{p1} + H_{p2})y' \quad (1)$$

$$aw'' - b_1w - b_2\varphi' - b_1\theta' = 0 \quad (2)$$

$$- [b_1 + \frac{b^2}{2}H_d + \frac{b^2}{4}(H_{p1} + H_{p2})]\varphi'' - b_2w' - [b_2 + \frac{b^2}{2}H_d + \frac{b^2}{4}(H_{p1} + H_{p2})]\theta'' + (H_{p1} - H_{p2})\frac{b}{2}v'' \\ = p_v e + (H_{p2} - H_{p1})\frac{b}{2}y'' \quad (3)$$

$$- [b_2 + \frac{b^2}{2}H_d + \frac{b^2}{4}(H_{p1} + H_{p2})]\varphi'' - b_1w' - [b_1 + \frac{b^2}{2}H_d + \frac{b^2}{4}(H_{p1} + H_{p2})]\theta'' + (H_{p1} - H_{p2})\frac{b}{2}v'' + \gamma\theta \\ = p_v e + (H_{p2} - H_{p1})\frac{b}{2}y'' \quad (4)$$

$$H_{p1} = - \frac{EA_c}{L_c} y' \int_L [v - \frac{b}{2}(\varphi + \theta)] dx \quad (5)$$

$$H_{p2} = - \frac{EA_c}{L_c} y' \int_L [v + \frac{b}{2}(\varphi + \theta)] dx \quad (6)$$

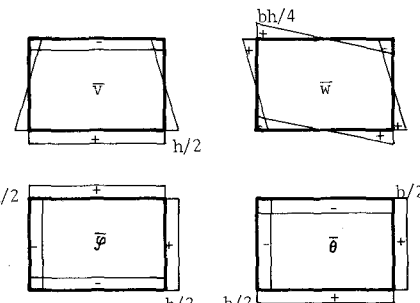


図1 変位の基準座標

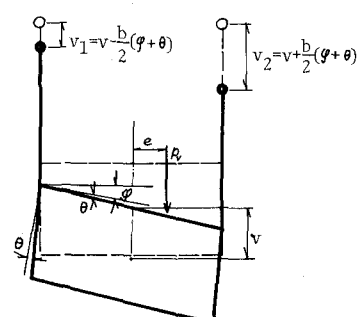


図2 吊橋の変形

式中  $EI = EA_C$ ,  $a = EA_C b^2 h^2 / 4$ ,  $b_1 = G(t_1 b + t_2 h)bh / 2$ ,  $b_2 = G(t_1 b - t_2 h)bh / 2$

$t_1 = E/G \cdot A_d h \lambda / d^3$ ,  $t_2 = E/G \cdot A_r b \lambda / 8 r^3$ ,  $A_d$ : initial cable force,  $\lambda$ : rigidity of strutt truss

3. 径間 2 ハンジ吊橋について次のような級数解を考へ計算を行う。

$$v = \sum a_{in} \sin \frac{n\pi x}{l}, \quad w = \sum b_{in} \cos \frac{n\pi x}{l}, \quad \phi = \sum c_{in} \sin \frac{n\pi x}{l}, \quad \theta = \sum d_{in} \sin \frac{n\pi x}{l} \quad i=1, 2, 3 \quad (7)$$

本研究で重要な意味をもつ対傾構のせん断剛性は単位のずれ角を生ぜしめずれモーメントで定義されが、代表的な対傾構形式に對する計算式を右に示す。

### 3. 數値計算例

數値計算の対象としてスパン割(260m + 1100m + 260m)の単純補剛トラス吊橋を選んだ。偏心荷重は道路部  $P = 2.16 \text{ t/m}$ ,  $e = 8.0 \text{ m}$ ; 鉄道走行部  $P = 3.05 \text{ t/m}$ ,  $e = 7.5 \text{ m}$ ; 鉄道新幹線部  $P = 2.97 \text{ t/m}$ ,  $e = 2.2 \text{ m}$ である。

#### (1) ねじれ角・ずれ角及び橋面傾斜

偏載荷重に対して問題となる変形は走行面の傾き及びねじれ角  $\psi$  とずれ角  $\delta$  の和とされる。偏心荷重の組合せは複々線軌道の外側に在走線、内側に新幹線の2列車を、さらに道路部に不利な位置及び載荷長の荷重を考える。図4(a)に示すような荷重状態の橋面傾斜角  $\theta + \psi$  の分布は各対傾構剛性に対して図4(b)の状態である。又中央断面の変形状態を図4(c)に示すがねじれ角とずれ角の卓越する領域が対傾構剛性の大小によつて明瞭に認られる。橋面傾斜角は車輌の走行安定性に影響するが、新幹線軌道、最大カント、二の荷重状態では

$$\gamma = 10^3 \text{ ton}, 39.6 \text{ mm}; \quad \gamma = 10^4 \text{ ton}, 26.7 \text{ mm}; \quad \gamma = 10^5 \text{ ton}, 25.6 \text{ mm}$$

#### (2) 補剛トラス腹材力

対傾構せん断剛性と補剛トラスの腹材力、下ばね主構斜材力と横構斜材の部材力に大きな影響をもつ。図4に図4(a)の荷重状態で着目点Aにおける腹材力の変化を示すが、偏載荷重下において、 $\gamma$  値が減少すると主構斜材力は少々かに増加する。横構斜材力は急激に減少し、対傾構剛性が極度に減ずると符号が変わる。主構斜材力の断面のねじりモーメントとずれモーメントの和は、子午横構斜材力ほどの差に比例するが、対傾構剛性

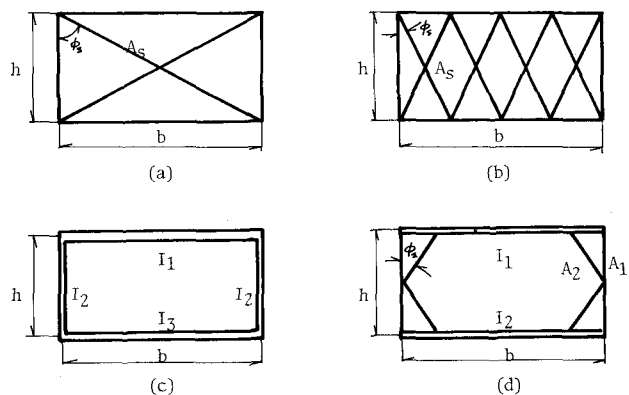


図3 各種対傾構

$$\text{a-type} \quad \gamma = \frac{4h^2}{\lambda s}, \quad \zeta = \frac{b}{2EA_s \sin^3 \phi_s}$$

$$\text{b-type} \quad \gamma = \frac{4h^2}{\lambda s}, \quad \zeta = \frac{b}{32EA_s \sin^3 \phi_s}$$

$$\text{c-type} \quad \gamma = \frac{2b}{\delta}, \quad \delta = \frac{b\lambda(\frac{3h^2}{I_2^2} + \frac{2bh}{I_1 I_2} + \frac{2bh}{I_2 I_3} + \frac{b^2}{I_1 I_3})}{12E(\frac{b}{I_1} + \frac{bh}{I_2} + \frac{b}{I_3})}$$

$$\text{d-type} \quad \gamma = \frac{2b}{\delta}, \quad \delta = \frac{b\lambda}{48} (b - ht \tan \phi_s)^2 (\frac{1}{2EI_1} + \frac{1}{2EI_2}) + \frac{b}{4hs \sin^2 \phi_s} (\frac{h^2 \sin^2 \phi_s + b^2 \cos^2 \phi_s}{EI_1} + \frac{b^2}{EA_2 \cos \phi_s})$$

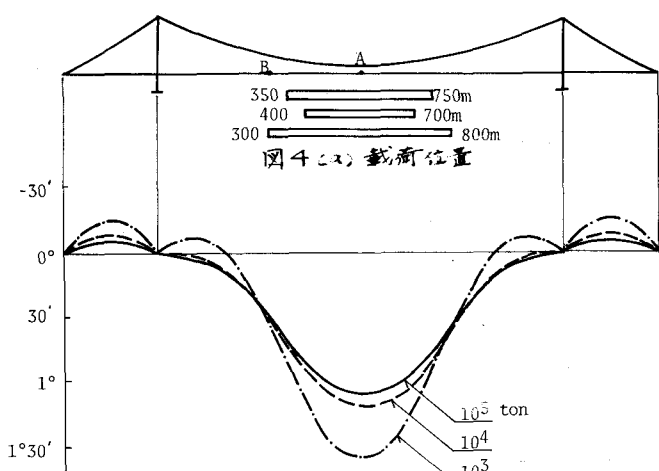


図4(b) 橋面傾斜

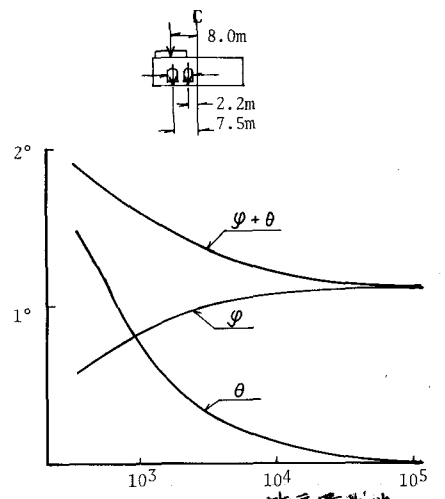


図4(c) 対橋構剛性の変形

の減少はいずれも一メントの急激な増加をもたらすものである。

### (3) 列車通過時の補剛トラス部材力

吊橋上を1列車が通過する際に生ずる補剛トラスの部材力は、それだけ抵抗軸力を越えることにはないけれど、道路荷重、風荷重あるいは地盤荷重による部材力に較べて、極めて再現性が高く、しかも図6において断面のねじりモーメントとそれモーメントの変動を示したように、1列車の通過に伴う1サイクルの両振り応力はほんの一瞬、疲労に対して十分配慮しなければならない。図7は主構斜材、1列車通過時、各点での最大軸力を実線で示す。センタースパン内ビタワー近くの部分では抵抗軸力が大きいために、列車の偏載によること生ずる応力は低いが、タワー近く130m付近では橋脚と抵抗軸力の約50%の両振り応力が作用する。1列車通過よりかなり頻度は少く、が吊橋上に2列車が同時に走るときの応力レベルはかなり高く、この場合も両振りとなる。スパン方向の最大軸力分布は図7に破綻で示した程度となり、最大2片振幅が抵抗軸力の80%にも達するとこうである。

### (4) 鉛直曲げとねじりの連成について

本研究では偏心荷重による鉛直曲げとねじりを連成させて解析した。曲げとねじりを別々に解いて重ね合せた結果は連成で解いたものに較べて変形応力率の若干大きめの解を与えるが、その差は2~3%程度である。

### 4. あとがき

本研究の結果、立体補剛トラス内部に走行面を有する場合には、対橋構の弾性変形の影響が設計上重

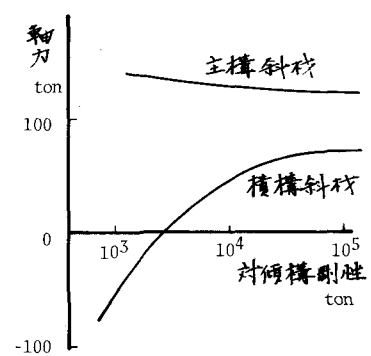


図5 軸力 対橋構剛性

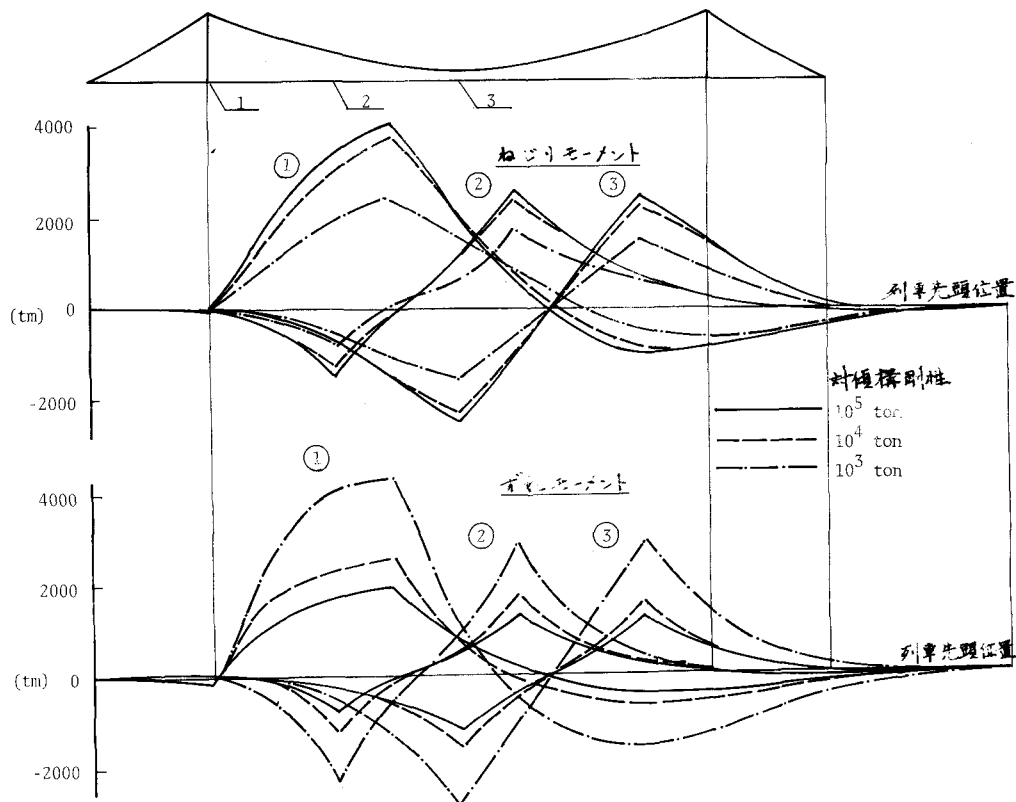


図6 列車通過時のねじりモーメント及びすれモーメントの変化  
(複数線外側下荷車線列車走行)

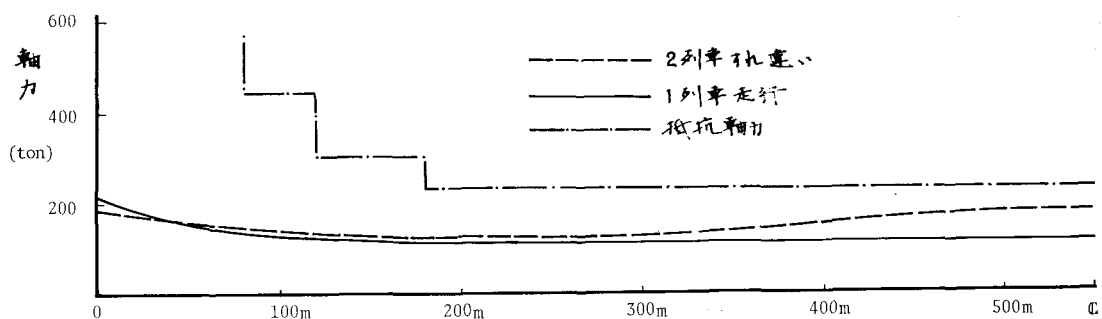


図7 列車走行時の斜材輪力最大値と抵抗輪力  
(センター スパン)

要するにこれが明らかとなつた。すなはち偏載荷重による走行面のカント、トラス腹材の応力などが設計において支配的となる場合があることを知つた。

- 文献 1) V.Z.Vlasov : 薄肉弾性ばくの理論 1940 (奥村訳)  
2) 小松、西村、西井：連続体に換算した箱型トラスのねじり剛性について(関西支部)